

Pruebas no paramétricas

Notas

Salida creada		05-SEP-2024 12:38:25
Comentarios		
Entrada	Conjunto de datos activo	ConjuntoDatos13
	Filtro	<ninguno>
	Ponderación	<ninguno>
	Segmentar archivo	<ninguno>
	N de filas en el archivo de datos de trabajo	400
Sintaxis		NPTESTS /RELATED TEST (MDSI_BS MDSI_KM MDSI_MC MDSI_WU MDSI_OC MDSI_VB MDSI_NQ) /MISSING SCOPE=ANALYSIS USERMISSING=EXCLUDE /CRITERIA ALPHA=0.05 CILEVEL=95.
Recursos	Tiempo de procesador	00:00:00,84
	Tiempo transcurrido	00:00:00,88

Resumen de contrastes de hipótesis

	Hipótesis nula	Prueba	Sig. ^{a,b}
1	Las distribuciones de MDSI_BS, MDSI_KM, MDSI_MC, MDSI_WU, MDSI_OC, MDSI_VB y MDSI_NQ son iguales.	Prueba de Friedman para muestras relacionadas para análisis de la varianza de dos factores por rangos	,000

Resumen de contrastes de hipótesis

	Decisión
1	Rechace la hipótesis nula.

a. El nivel de significación es de ,050.

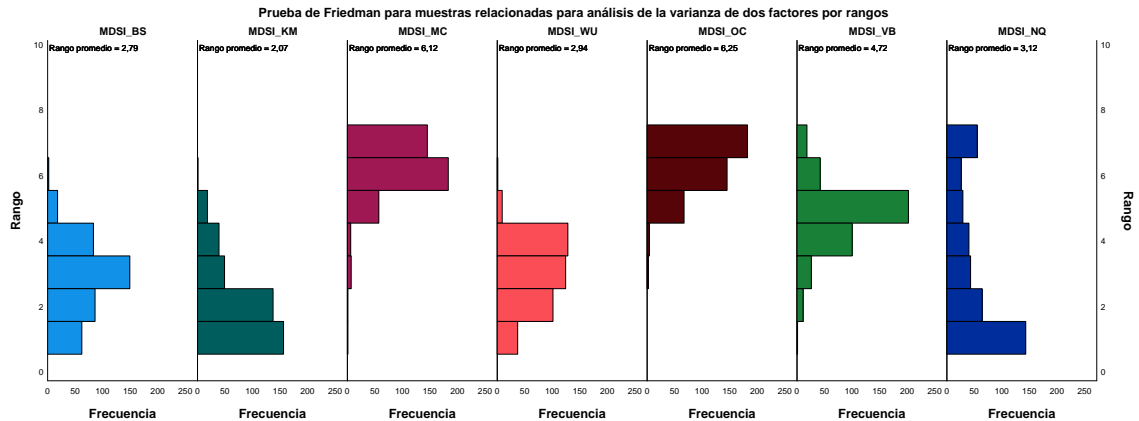
b. Se muestra la significancia asintótica.

Prueba de Friedman para muestras relacionadas para análisis de la varianza de dos factores por rangos

MDSI_BS, MDSI_KM, MDSI_MC, MDSI_WU, MDSI_OC, MDSI_VB, MDSI_NQ

Resumen de la prueba de Friedman para muestras relacionadas para análisis de la varianza de dos factores por rangos

N total	400
Estadístico de prueba	1471,873
Grado de libertad	6
Sig. asintótica (prueba bilateral)	,000



Comparaciones por parejas

Sample 1-Sample 2	Estadístico de prueba	Error estándar	Estadístico de prueba estándar	Sig.	Sig. ajust. ^a
MDSI_KM-MDSI_BS	,715	,153	4,681	<,001	,000
MDSI_KM-MDSI_WU	-,862	,153	-5,646	<,001	,000
MDSI_KM-MDSI_NQ	-1,042	,153	-6,825	<,001	,000
MDSI_KM-MDSI_VB	-2,650	,153	-17,348	,000	,000
MDSI_KM-MDSI_MC	-4,043	,153	-26,464	,000	,000
MDSI_KM-MDSI_OC	-4,180	,153	-27,365	,000	,000
MDSI_BS-MDSI_WU	-,147	,153	-,966	,334	1,000
MDSI_BS-MDSI_NQ	-,327	,153	-2,144	,032	,673
MDSI_BS-MDSI_VB	-1,935	,153	-12,668	,000	,000
MDSI_BS-MDSI_MC	-3,327	,153	-21,784	,000	,000
MDSI_BS-MDSI_OC	-3,465	,153	-22,684	,000	,000
MDSI_WU-MDSI_NQ	-,180	,153	-1,178	,239	1,000
MDSI_WU-MDSI_VB	-1,787	,153	-11,702	,000	,000
MDSI_WU-MDSI_MC	3,180	,153	20,818	,000	,000
MDSI_WU-MDSI_OC	-3,317	,153	-21,718	,000	,000
MDSI_NQ-MDSI_VB	1,608	,153	10,524	,000	,000
MDSI_NQ-MDSI_MC	3,000	,153	19,640	,000	,000
MDSI_NQ-MDSI_OC	3,138	,153	20,540	,000	,000
MDSI_VB-MDSI_MC	1,393	,153	9,116	,000	,000

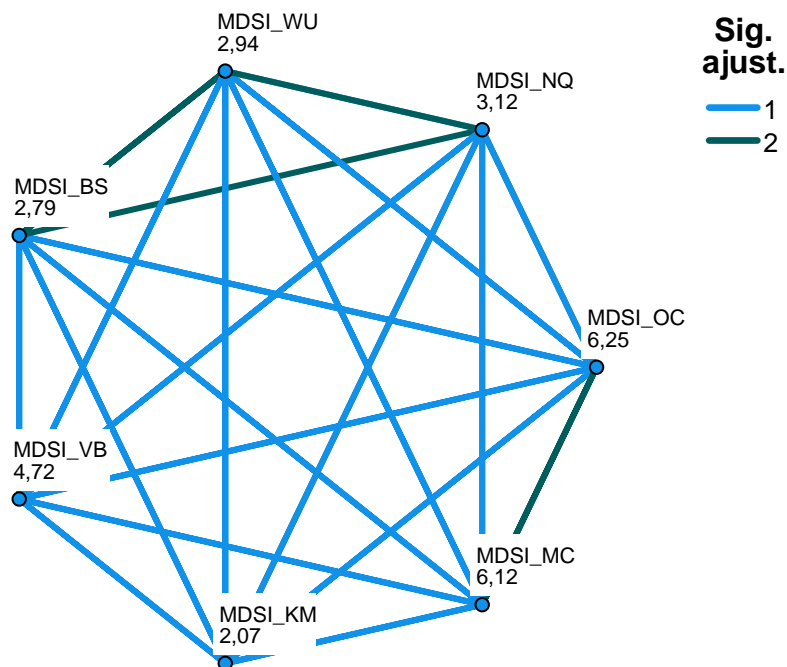
Comparaciones por parejas

Sample 1-Sample 2	Estadístico de prueba	Error estándar	Estadístico de prueba estándar	Sig.	Sig. ajust. ^a
MDSI_VB-MDSI_OC	1,530	,153	10,016	,000	,000
MDSI_MC-MDSI_OC	-,137	,153	-,900	,368	1,000

Cada fila prueba la hipótesis nula que las distribuciones de la Muestra 1 y la Muestra 2 son iguales. Se visualizan las significaciones asintóticas (pruebas bilaterales). El nivel de significación es de ,050.

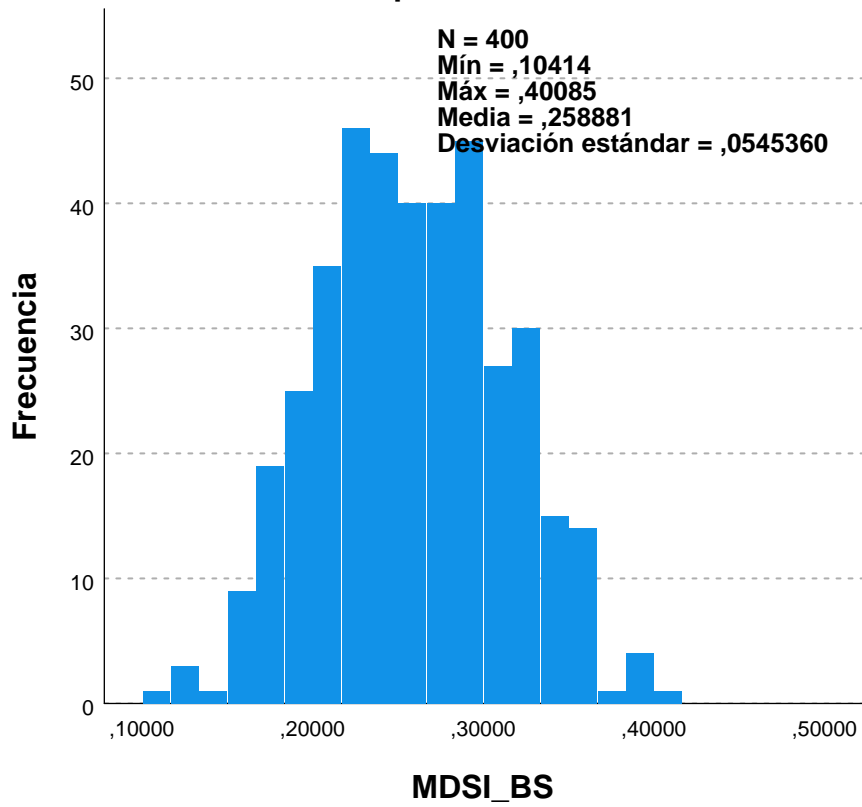
- a. Los valores de significación se han ajustado mediante la corrección Bonferroni para varias pruebas.

Comparaciones por parejas

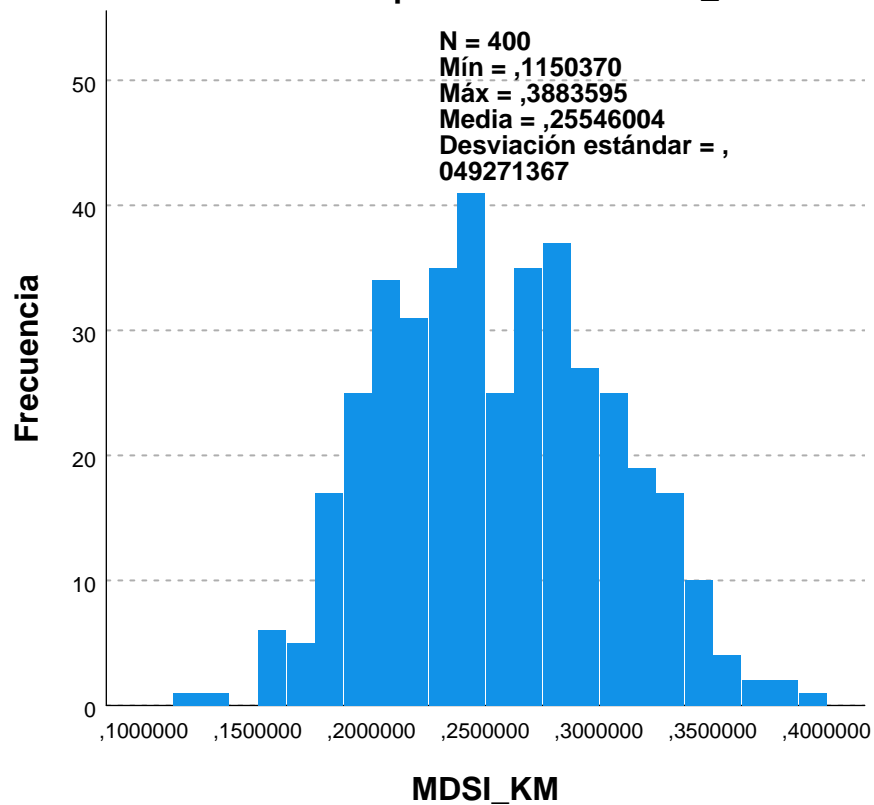


Cada nodo muestra en número de muestra de éxitos.

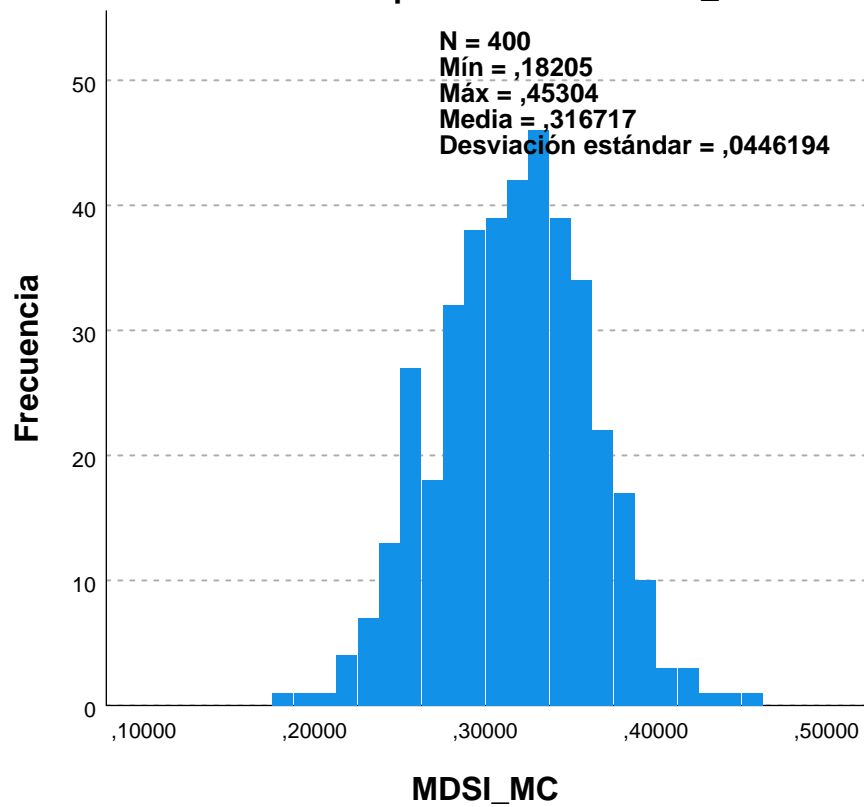
Información de campos continuos MDSI_BS



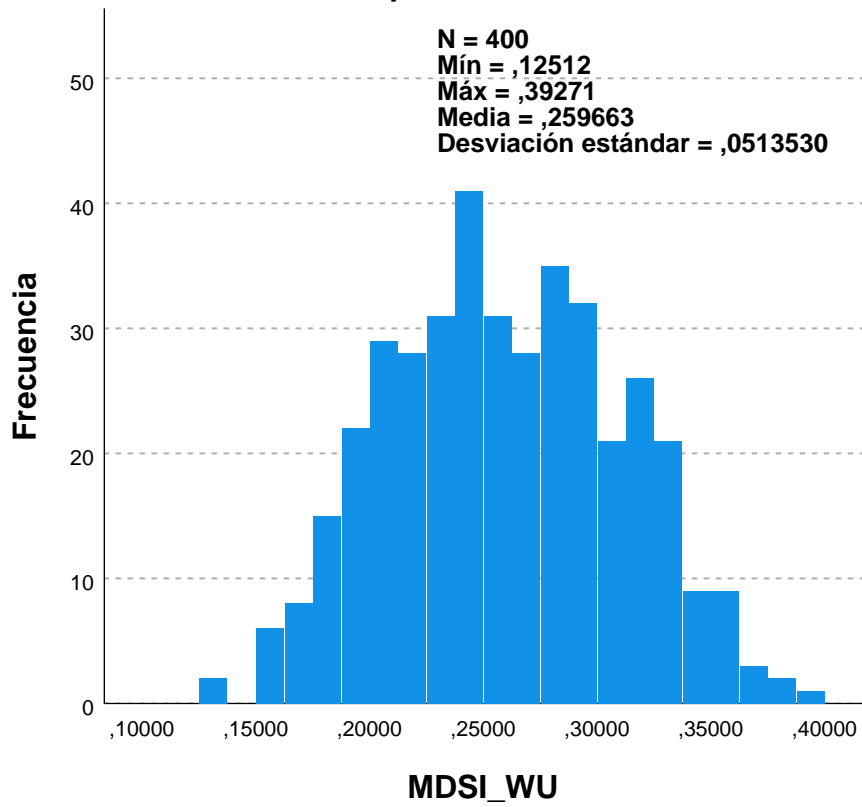
Información de campos continuos MDSI_KM



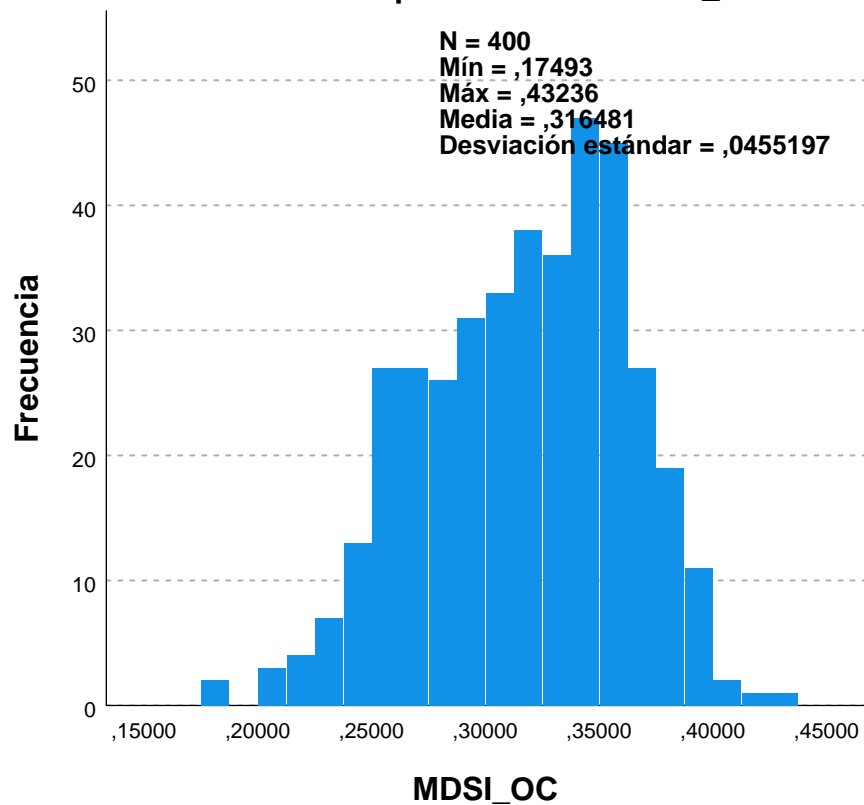
Información de campos continuos MDSI_MC



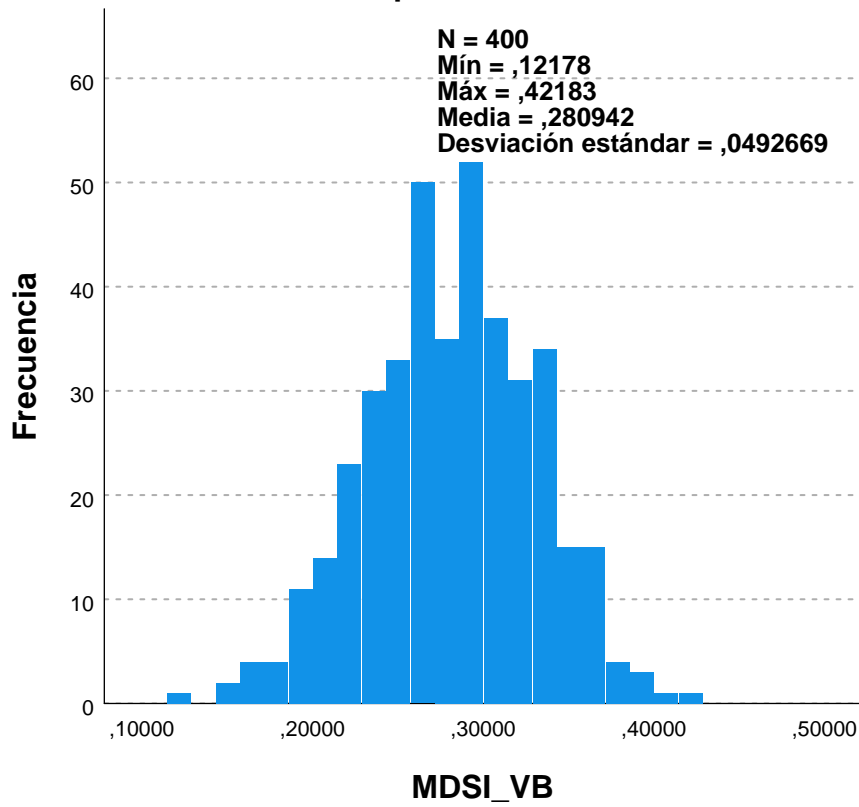
Información de campos continuos MDSI_WU



Información de campos continuos MDSI_OC



Información de campos continuos MDSI_VB



Información de campos continuos MDSI_NQ

